- [17] Friedman DS, Gazzard G, Min CB, et al. Age and sex variation in angle findings among normal Chinese subjects: a comparison of UBM, Scheimpflug, and gonioscopic assessment of the anterior chamber angle[J].J Glaucoma, 2008, 17(1):5-10.
- [18] Esaki K, Ishikawa H, Liebmann JM, et al. Angle recess area decreases with age in normal Japanese [J]. Jpn J Ophthalmol, 2000, 44(1):46-51.
- [19] Klein BE, Klein R, Moss SE. Lens thickness and five-year cumulative incidence of cataracts: the beaver dam eye study [J].

- Ophthalmic Epidemiol, 2000, 7(4): 243-248.
- [20] Henriquez MA, Mejias JA, Rincon M, et al. Correlation between lens thickness and lens density in patients with mild to moderate cataracts [J].Br J Ophthalmol, 2020, 104(10):1350-1357.
- [21] Schuster AK, Pfeiffer N, Nickels S, et al. Distribution of anterior chamber angle width and correlation with age, refraction, and anterior chamber depth-the gutenberg health study [J]. Invest Ophthalmol Vis Sci, 2016, 57(8):3740-3746.

(收稿日期:2021-10-26)

• 病例报道 •

Echocardiographic diagnosis of acute mitral valve entrapment after mechanical valve replacement: a case report 超声心动图诊断二尖瓣机械瓣置换术后急性卡瓣自动解除1例

刘 瑶 李书兵

[中图法分类号]R540.45

[文献标识码]B

患者男,61岁,因腰部胀痛伴胸闷,呼吸困难4h,大量 粉红色泡沫痰入院。外院诊断为"主动脉夹层",为求进一 步诊治入院。体格检查:双肺满布湿啰音;血压96/57 mm Hg (1 mm Hg=0.133 kPa), 心率 167 次/min, 呼吸频率 35 次/min, 血 氧饱和度78%,血压进行性下降。既往有风湿性心脏病史;9年 前于外院行二尖瓣机械瓣置换术,长期口服华法林抗凝治疗。 本次入院前1周于外院行胆囊切除术,2d前出院,近1周未规 范抗凝治疗,国际标准化比值(INR)1.2。行急诊经胸超声心动 图(TTE)检查:二尖瓣机械瓣置换术后,因机械瓣声影遮挡, 瓣及瓣周情况显示不清,二尖瓣机械瓣前向血流束变细,偏向 室间隔侧,二尖瓣峰值流速(Vmax)约306 cm/s,平均跨瓣压差 (PGmean) 约27 mm Hg,压差半降时间(PHT)>400 ms;左房增大 (前后径约55 mm);三尖瓣中量反流,估测肺动脉收缩压约 82 mm Hg,射血分数约40%(图1)。扫查胸腹大血管未见明显主 动脉夹层征象。TTE提示:二尖瓣机械瓣梗阻(血栓卡瓣可能 性大);三尖瓣中量反流;左房增大;左心功能减低。患者拒绝 急诊手术解除梗阻,仅行强心、利尿、扩血管等对症处理,4h后 症状明显缓解,体格检查:血压112/68 mm Hg,心率80次/min,呼 吸频率20次/min,血氧饱和度99%。复查TTE提示:二尖瓣机械瓣前 向血流束束宽正常、居中,Vmax约163 cm/s,PGmean约4 mm Hg, PHT 110 ms; 左房明显减小(前后径约36 mm); 三尖瓣少量反 流,肺动脉收缩压正常值,射血分数约60%;左房内可见一 大小约16 mm×14 mm 团状稍高回声飘动(图2)。TTE提示:二

尖瓣机械瓣梗阻消除;三尖瓣少量反流;左房血栓。

讨论:心脏人工瓣血栓是心脏瓣膜置换术后的严重并发 症,发生率约0.3%~1.3%,血栓形成导致人工瓣膜障碍,病死率 约10%[1]。人工瓣血栓形成的常见原因有不规则抗凝或抗凝 不足引起血栓形成(二尖瓣为主)和瓣膜周围组织过度生长覆 盖瓣周或瓣口的瓣膜组织翳(主动脉瓣为主)等[2],诊断人工瓣 功能障碍的方法有X线、CT及心导管检查,但具有放射性,且无 法进行快速、实时的诊断。经食管超声心动图(TEE)可明确人 工瓣膜功能异常的原因和瓣周病理改变,联合TTE可更清楚地 观测机械瓣的位置、瓣叶活动度,通过测算其流速和跨瓣压差 判断是否存在机械瓣功能障碍[3]。本例患者因急性左心衰竭、 心功能差无法行TEE检查,故采用TTE检查,结果提示二尖瓣 机械瓣声影遮挡,二维图像上瓣及瓣周情况显示不清,但CDFI 示二尖瓣机械瓣前向血流束变细、偏向,频谱多普勒示二尖瓣 Vmax、PGmean均明显高于正常,间接提示存在机械瓣梗阻。对 症处理后患者临床症状消失,复查TTE提示左房内可见血栓样 回声,二尖瓣机械瓣梗阻消除,前向血流束增宽、居中。结合病 史,分析本例患者血栓形成的原因为自身心脏因素及抗凝治疗 不当所致,而梗阻的形成可能与血栓附着于机械瓣或瓣周有关。 本病治疗方案的选择取决于有无梗阻及症状的严重程度,当心 功能分级达到纽约心脏协会IV级,血栓较大(直径>5 mm)和左 侧机械瓣血栓高危特征时,需行紧急手术[4]。本例患者有急诊 手术指征,但拒绝手术治疗,行强心、利尿、扩血管等对症处理

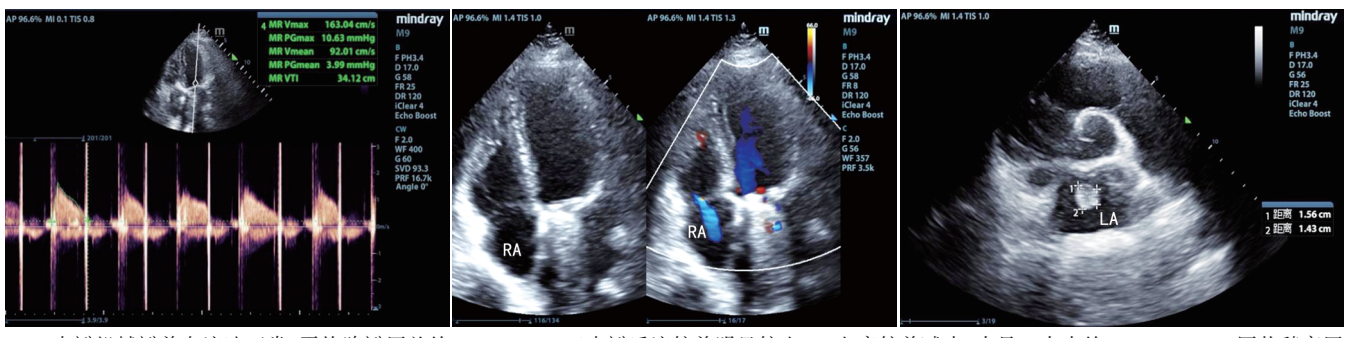
- predicting molecular subtypes of breast cancer in young women [J]. Proc SPIE Int Soc Opt Eng, 2019, 10950; 1095044. doi: 10.1117/12.2512056.
- [5] Liu Z, Li Z, Qu J, et al. Radiomics of multiparametric MRI for pretreatment prediction of pathologic complete response to neoadjuvant chemotherapy in breast cancer: a multicenter study [J]. Clin Cancer Res, 2019, 25(12): 3538-3547.
- [6] Lee SE, Han K, Kwak JY, et al. Radiomics of US texture features in differential diagnosis between triple-negative breast cancer and fibroadenoma[J].Sci Rep, 2018, 8(1):13546.
- [7] Lambin P, Rios-velazquez E, Leijenaar R, et al. Radiomics: extracting more information from medical images using advanced feature analysis[J].Eur J Cancer, 2012, 48(4):441-446.
- [8] Conti A, Duggento A, Indovina I, et al. Radiomics in breast cancer classification and prediction [J]. Semin Cancer Biol, 2021, 72 (7): 238-250
- [9] Youk JH, Kwak JY, Lee E, et al. Grayscale ultrasound radiomic

- features and shear-wave elastography radiomic features in benign and malignant breast masses [J]. Ultraschall Med, 2020, 41 (4): 390-396.
- [10] Zhang Q, Peng Y, Liu W, et al. Radiomics based on multimodal MRI for the differential diagnosis of benign and malignant breast lesions
 [J].J Magn Reson Imaging, 2020, 52(2):596-607.
- [11] Zhang Q, Xiao Y, Suo J, et al. Sonoelastomics for breast tumor classification: a radiomics approach with clustering-based feature selection on sonoelastography[J].Ultrasound Med Biol, 2017, 43(5): 1058-1069.
- [12] 肖榕,周玮珺,王玲.基于灰阶超声的影像组学预测乳腺肿瘤良恶性的价值[J].中国超声医学杂志,2020,36(7):610-613.
- [13] Chitaliar D, Kontos D. Role of texture analysis in breast MRI as a cancer biomarker; a review[J]. J Magn Reson Imaging, 2019, 49(4); 927-938.
- [14] Rigatti SJ.Random forest[J]. J Insur Med, 2017, 47(1):31–39. (收稿日期: 2021-11-25)

(上接第501页)



A:二尖瓣机械瓣舒张期流速明显增快,平均跨瓣压差约27 mm Hg;B:三尖瓣中量反流;C:左房增大,未见血栓。LA:左房;RA:右房;AO:主动脉 图 1 首次TTE图



A:二尖瓣机械瓣前向流速正常,平均跨瓣压差约4 mm Hg;B:三尖瓣反流较前明显较少;C:左房较前减小,内见一大小约16 mm×14 mm 团状稍高回声。LA:左房;RA:右房

图2 症状缓解后复诊TTE图

后患者临床症状明显缓解,复查TTE示三尖瓣机械瓣梗阻解除, 左房内可见血栓样回声,推测梗阻解除可能与二尖瓣机械瓣区域 血栓脱落人左房有关。总之,超声心动图能实时、多切面地观察 人工瓣瓣叶及瓣周情况,并能通过测量血流动力学相关参数进行 定量评估,是目前评价人工机械瓣功能障碍的首要检查手段。

参考文献

[1] 王志盛.人工主动脉瓣膜功能障碍二次置换术临床报道及思考[J].

- 中国卫生标准管理,2020,11(13):28-31.
- [2] 朱喜亮,程兆云,王圣,等.人工瓣膜-患者不匹配对风湿性心脏病患者机械瓣二尖瓣置换术后早、中期临床结果的影响分析[J].中国循环杂志,2021,36(9):880-885.
- [3] 龚嘉森,侯剑峰,林宏远.MEDTRONIC Open Pivot 主动脉瓣机械瓣置换术后早中期临床结果[J].中国循环杂志,2021,36(7):700-704.
- [4] 魏士雄,崔辉敏,毛磊,等.外科治疗人工瓣膜心内膜炎的临床疗效观察[J].兰州大学学报(医学版),2021,47(3):26-30,36.

(收稿日期:2021-11-23)